

· 实验研究 ·

外源性TRAIL基因转染联合氯喹诱导胶质瘤U251细胞凋亡

冯 驰 郭双毅 程龙海 罗 杰

【摘要】目的 探讨外源性肿瘤坏死因子凋亡相关诱导配体(TRAIL)联合氯喹对U251细胞凋亡的作用。方法 构建稳定表达TRAIL的质粒pEGFP-TRAIL,然后转染到胶质瘤细胞系U251细胞中(TRAIL组),以pEGFP-C1质粒为阴性对照,以不转染质粒为空白对照;将氯喹(50 μmol/L)加入到转染pEGFP-TRAIL质粒U251细胞培养基中,作为联合组。共聚焦显微镜检测GFP-TRAIL蛋白表达,MTT法检测细胞抑制率,Annexin V-FITC/PI双染法检测细胞凋亡,免疫印迹法检测GFP-TRAIL和Cleaved caspases-8蛋白表达。结果 质粒转染后,共聚焦荧光显微镜检测结果显示,pEGFP-C1在细胞质中成弥散分布;而GFP-TRAIL在细胞质中成聚点分布,且荧光表达可以持续48 h以上;免疫印迹法分析结果显示TRAIL组TRAIL蛋白表达水平明显高于空白对照组和阴性对照组($P<0.05$)。联合组细胞增殖抑制率[(47.22±0.15)%]明显高于阴性对照组[(3.21±0.04)%, $P<0.05$]和TRAIL组[(23.88±0.22)%, $P<0.05$]。联合组细胞凋亡率[(41.62±0.44)%]明显高于空白对照组[(2.14±0.09)%, $P<0.05$]、阴性对照组[(3.46±0.17)%, $P<0.05$]和TRAIL组[(22.48±0.43)%, $P<0.05$]。联合组Cleaved caspases-8蛋白表达水平明显高于阴性对照组、TRAIL组($P<0.05$)。结论 外源性TRAIL基因转染后可以在细胞中稳定表达并诱导细胞凋亡,与氯喹联合应用可以增强TRAIL诱导的细胞凋亡,其机制可能是氯喹抑制细胞自噬。

【关键词】胶质瘤;U251细胞;肿瘤坏死因子凋亡相关诱导配体;氯喹;细胞凋亡;细胞自噬

【文章编号】1009-153X(2017)08-0563-03 **【文献标志码】**A **【中国图书资料分类号】**R 739.41

Effect of exogenous TRAIL gene transfection combined with chloroquine on glioma U251 cells apoptosis

FENG Chi, GUO Shuang-yi, CHENG Long-hai, LUO Jie. Department of Neurosurgery, Taihe Hospital, Shiyan 44200, China

【Abstract】 Objective To investigate the effect of the exogenous tumor necrosis factor-related apoptosis-inducing ligand (TRAIL) and chloroquine (CQ) on the apoptosis of glioma U251 cells. Methods Human glioma U251 cells were treated with exogenous green fluorescent protein (GFP)-TRAIL and/or CQ. The expression level of GFP-TRAIL in U251 cells was detected by confocal microscope. The cells vitality was detected by MTT assay and U251 cells apoptosis was detected by Annexin V-FITC/PI Apoptosis Detection Kit. The expression levels of proteins related to apoptosis were detected by Western blot. Results GFP-TRAIL was stably expressed in U251 cells and induced the U251 cells apoptosis after the transfection of exogenous TRAIL into U251 cells. The rate of inhibition of U251 cells proliferation (47.22±0.15)% and the U251 cell apoptosis rate (41.62±0.44)% were significantly higher in the glioma U251 cells treated with GFP-TRAIL combined with CQ respectively than those [(23.88±0.22)% and (22.48±0.43)% respectively] in the glioma U251 cells only treated with GFP-TRAIL or CQ and control group ($P<0.05$). Conclusion The GFP-TRAIL protein can be stably expressed in U251 cells transfected with TRAIL gene and induce the apoptosis of U251 cells. GFP-TRAIL combined with CQ can enhance the apoptosis of U251 cells.

【Key words】 Glioma; U251 cells; Apoptosis; Tumor necrosis factor-related apoptosis-inducing ligand; Chloroquine;

肿瘤坏死因子相关凋亡诱导配体(tumor necrosis factor related apoptosis-induced ligand, TRAIL)是肿瘤坏死因子家族成员^[1,2],能够诱导大多数人类肿瘤细胞凋亡而对正常细胞没有明显毒性作用^[3-7]。因此,TRAIL被认为是一种很有希望和有效的抗肿瘤药物^[8]。TRAIL作为一种新型的分子靶向

药物,在临床前期实验中表现出治疗肿瘤的强大优势,但同时也出现了一些阻碍其进入临床治疗的问题,如TRAIL蛋白半衰期很短^[9]、TRAIL抵抗的出现等^[10]。本实验构建TRAIL的真核稳定表达载体,通过基因转染使TRAIL蛋白能够在细胞中稳定表达,同时联合应用氯喹,探讨两者联合应用对胶质瘤细胞凋亡的影响。

1 材料与方法

1.1 材料 pEGFP-C1质粒由本实验室保存,HeLa细胞基因组cDNA由本实验室保存,U251细胞购自于

武汉大学保藏中心,TA 克隆试剂盒购自于北京全式金生物技术有限公司,3-(4,5-二甲基噻唑-2)-2,5-二苯基四氮唑溴盐(methylthiazolyldiphenyl-tetrazolium bromide, MTT)和氯喹购自于美国 Sigma 公司,Annexin V-FITC/PI凋亡试剂盒、兔抗人 cleaved caspases-8 抗体购自于沈阳万类生物科技有限公司,兔抗人 GAPDH 抗体和兔抗人 TRAIL 蛋白购自武汉三鹰生物技术有限公司,DMEM 培养基、胰蛋白酶购自于美国 Gibco 公司,胎牛血清购自于杭州四季青生物工程材料有限公司,Lipofectamine2000 Reagent 转染试剂盒购自于美国 Invitrogen 公司。

1.2 方法

1.2.1 细胞培养和传代 U251 细胞培养于含 10% 胎牛血清、1% 青-链霉素 DMEM 中,37 ℃、5% CO₂ 恒温培养箱培养。根据细胞生长状态,隔天换液,每 2~3 d 用 0.25% 胰酶消化成细胞悬液,以 1:3 比例传代。

1.2.2 pEGFP-TRAIL 真核表达载体的构建 根据 pEGFP-C1 质粒多克隆位点序列和 TRAIL 基因 CDS 序列设计合适 PCR 引物,上游引物为 5'-ACG CTC GAG ATG GCT ATG ATG GAG GTC-3',5' 端含有 XhoI 酶切位点,下游引物为 5'- AGC GAA TTC TTA GCC AAC TAA AAA GGC CCC GA-3',5' 端含 EcoRI 酶切位点。从 HeLa 细胞基因组 cDNA 上运用 PCR 技术得到含有 XhoI 和 EcoRI 两个酶切位点的 TRAIL 的 CDS 序列;然后,通过 TA 克隆、酶切酶连及转化构建出 pEGFP-TRAIL 质粒。最后通过基因测序验证质粒的正确性。

1.2.3 检测 GFP-TRAIL 蛋白的表达 按照 Lipo2000 转染说明书将 pEGFP-C1 和 pEGFP-TRAIL 质粒转染到 U251 中,24 h 后,在共聚焦显微镜下观察 GFP-TRAIL 蛋白的表达。观察结束后,胰酶消化细胞,细胞悬液转移至 1.5 mL Ep 管中,10 000 g 离心 5 min,弃上清,留取底部蛋白沉淀。同时收集没有任何处理的 U251 细胞。采用免疫印迹法检测 TRAIL 及 GFP-TRAIL 蛋白的表达。

1.2.4 MTT 法检测细胞增殖抑制率 pEGFP-C1、pEGFP-TRAIL 质粒转染 24 h 后,胰酶消化成细胞悬液,以每孔 5 000 个细胞转移到 96 孔培养板中,细胞分为空白对照组、阴性对照组、TRAIL 组和联合组,每组 5 个复孔,37 ℃ 培养箱培养过夜。次日清晨,联合组加入氯喹(50 μmol/L)。孵育 6 h 后行 MTT 实验,测定 490 nm 波长吸光度(optic density, OD)值,计算细胞生长抑制率(%)=(1-实验组 OD 值/对照组 OD 值)×100%。

1.2.5 Annexin V-FITC/PI 双染法检测细胞凋亡 取对数生长期 U251 细胞,按照 Lipo2000 转染说明书转染 pEGFP-C1 和 pEGFP-TRAIL 质粒,分为空白对照组、阴性对照组、TRAIL 组和联合组。转染 24 h 后,联合组加入氯喹终浓度为(50 μmol/L)。24 h 后,根据 AnnexinV-FITC 凋亡试剂盒说明书运用共聚焦显微镜进行凋亡检测,其中被 FITC 染成绿色的细胞为凋亡细胞,未染色的为正常细胞。统计 Confocal 图像中细胞总数和凋亡细胞数,计算凋亡率。

1.2.6 免疫印迹法检测 Cleaved caspases-8 蛋白表达水平 取对数生长期 U251 细胞,按照 Lipo2000 转染说明书转染 pEGFP-C1 和 pEGFP-TRAIL 质粒,分为阴性对照组、TRAIL 组和联合组。转染 24 h 后,联合组加入氯喹终浓度为(50 μmol/L)。6 h 后收取细胞,采用免疫印迹法检测蛋白表达水平。

1.2.7 统计学方法 运用 SPSS 16.0 软件进行分析,计量资料以 $\bar{x} \pm s$ 表示,采用方差分析,以 $P < 0.05$ 表示差异有统计学意义。

2 结果

2.1 GFP-TRAIL 蛋白表达水平 质粒转染后,共聚焦荧光显微镜检测结果显示,pEGFP-C1 在细胞质中成弥散分布;而 GFP-TRAIL 在细胞质中成聚点分布,且荧光表达可以持续 48 h 以上(图 1)。免疫印迹法分析结果显示 TRAIL 组 TRAIL 蛋白表达水平明显高于空白对照组和阴性对照组(图 2)。

2.2 细胞增殖抑制率比较 阴性对照组 U251 细胞抑制率为(3.21±0.04)% ,TRAIL 组为(23.88±0.22)% ,联合组为(47.22±0.15)% ,两两比较均有统计学差异($P < 0.05$)。

2.3 细胞凋亡水平比较 空白对照组 U251 细胞凋亡率为(2.14±0.09)% ,阴性对照组为(3.46±0.17)% ,TRAIL 组为(22.48 ± 0.43)% ,联合组为(41.62 ± 0.44)% ,两两比较均有统计学差异($P < 0.05$)。

2.4 Cleaved caspases-8 蛋白表达水平比较 阴性对照组、TRAIL 组和联合组 U251 Cleaved caspases-8 表达水平见图 3,联合组 Cleaved caspases-8 表达水平明显上升。

3 讨论

氯喹最初以抗疟药应用于临床,后来研究发现其可以抑制细胞自噬。研究表明,细胞自噬与肿瘤细胞 TRAIL 抵抗有着密切关系^[9,11]。有研究发现联合应用氯喹与人重组 TRAIL 蛋白处理肿瘤细胞后,

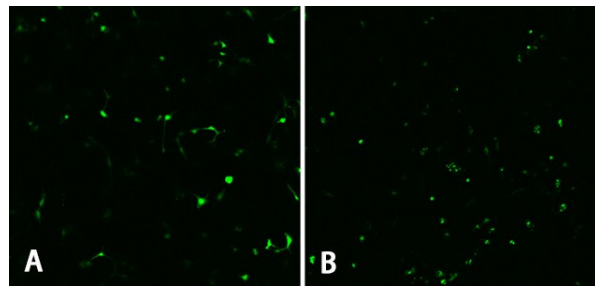


图1 U251细胞转染含GFP的TRAIL质粒后聚丙烯酰胺凝胶电泳观察($\times 200$)

A. pEGFP-C1质粒; B. pEGFP-TRAIL质粒; GFP:绿色荧光蛋白;
TRAIL:肿瘤坏死因子相关凋亡诱导配体

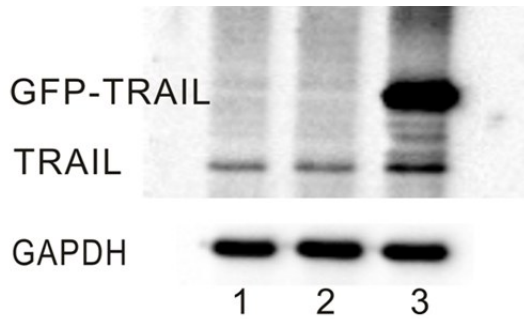


图2 U251细胞转染TRAIL质粒后电泳图

1. 空白对照组; 2. pEGFP-C1质粒; 3. pEGFP-TRAIL质粒;
GFP:绿色荧光蛋白; TRAIL:肿瘤坏死因子相关凋亡诱导
配体; GAPDH:甘油醛-3-磷酸脱氢酶

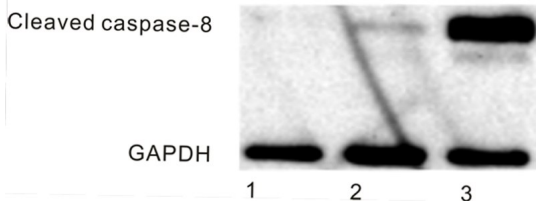


图3 U251细胞转染TRAIL质粒后电泳图

1. pEGFP-C1质粒; 2. pEGFP-TRAIL质粒; 3.
pEGFP-TRAIL+氯喹; TRAIL:肿瘤坏死因子相关凋亡诱导
配体; GAPDH:甘油醛-3-磷酸脱氢酶

氯喹可通过增加TRAIL蛋白和mRNA的稳定性,增强TRAIL诱导的细胞凋亡^[12]。我们成功构建出TRAIL基因的稳定表达载体,运用基因转染技术,发现GFP-TRAIL可以稳定持续的表达,并能诱导U251细胞凋亡;同时,我们联合应用GFP-TRAIL基因转染和氯喹处理U251细胞,发现联合处理后肿瘤细胞的凋亡明显增强。

本研究通过GFP-TRAIL基因转染技术和自噬

抑制剂氯喹的使用,实现TRAIL蛋白在细胞内稳定持续表达,并能显著诱导肿瘤细胞凋亡的目的,为增加TRAIL稳定性和增强TRAIL诱导的凋亡效应提供了一种新方法。

【参考文献】

- [1] Wiley SR, Schooley K, Smolak PJ, et al. Identification and characterization of a new member of the TNF family that induces apoptosis [J]. Immunity, 1995, 3: 673–682.
- [2] Wu M, Das A, Tan Y, Induction of apoptosis in glioma cell lines by TRAIL/Apo-2L [J]. J Neurosci Res, 2000, 61(4): 464–470.
- [3] Allen JE, El-Deiry WS. Regulation of the human TRAIL gene [J]. Cancer Biol Ther, 2012, 13: 1143–1151.
- [4] Ashkenazi A, Pai RC, Fong S, et al. Safety and antitumor activity of recombinant soluble Apo2 ligand [J]. J Clin Invest, 1999, 104(2): 155–162.
- [5] Griffith TS. Induction of tumor cell apoptosis by TRAIL gene therapy [J]. Methods Mol Biol, 2009, 542(542): 315–334.
- [6] Merino D, Lalaoui N, Morizot A, et al. TRAIL in cancer therapy: present and future challenges [J]. Expert Opin Ther Targets, 2007, 11(10): 1299–314.
- [7] Walczak H, Miller RE, Ariail K, et al. Tumoricidal activity of tumor necrosis factor-related apoptosis-inducing ligand in vivo [J]. Nat Med, 1999, 5(2): 157–163.
- [8] Fulda S. Tumor-necrosis-factor-related apoptosis-inducing ligand (TRAIL) [J]. Adv Exp Med Biol, 2014, 818(8):167.
- [9] Stuckey DW, Shah K. TRAIL on trial: preclinical advances in cancer therapy [J]. Trends Mol Med, 2013, 19: 685–694.
- [10] Trivedi R, Mishra DP. Trailing TRAIL resistance: novel targets for TRAIL sensitization in cancer cells [J]. Front Oncol, 2015, 5: 69.
- [11] Gump JM, Staskiewicz L, Morgan MJ, et al. Autophagy variation within a cell population determines cell fate through selective degradation of Fap-1 [J]. Nat Cell Biol, 2014, 16 (1): 47–54.
- [12] Park EJ, Min KJ, Choi KS, et al. Chloroquine enhances TRAIL-mediated apoptosis through up-regulation of DR5 by stabilization of mRNA and protein in cancer cells [J]. Sci Rep, 2016, 6: 22921.

(2017-02-28收稿,2017-05-02修回)